

## การถ่ายทอดความร้อนในชั้นวัสดุหนา

นางสาว ปริญานุส เลิศวัฒนา ไฟศาล\*

ดร.บุญสร้าง คิรากสดาพร\*\*

ดร.สมหมาย ปรีเปรม\*\*\*

ดร.สมนึก ชีระกุลพิทักษ์\*\*\*

### บทคัดย่อ

ในการศึกษาถึงการถ่ายทอดความร้อนระหว่างชั้นวัสดุหนาและของไอล gastric ในชั้นวัสดุหนา ที่ผ่านมาได้มีศึกษาไว้หลายท่านศักยกัน แต่โดยทั่วไปเป็นการศึกษาโดยไม่คำนึงถึงการนำความร้อนที่เกิดขึ้นภายในให้ชั้นวัสดุหนามีขนาดเด็กมากเมื่อเปรียบเทียบกับขนาดของชั้นหนาและถือว่าค่าสัมประสิทธิ์การนำความร้อนของชั้นวัสดุหนานี้ค่าสูงมาก แต่ในงานที่ต้องการความถูกต้องสูงข้อสัมมุตติฐานดังกล่าวอาจทำให้เกิดความคลาดเคลื่อนในการวิเคราะห์ได้เพื่อที่จะทำให้การวิเคราะห์ปัญหาใกล้เคียงความเป็นจริงมากขึ้น การศึกษารั้งนี้จึงได้วิเคราะห์ปัญหาโดยคำนึงถึงการนำความร้อนที่เกิดขึ้นในชั้นวัสดุหนาด้วย โดยได้สร้างแบบจำลองทางคณิตศาสตร์สองแบบด้วยกัน แบบจำลองแรกเป็นกรณีที่การกระจายอุณหภูมิภายในชั้นหนาสามมิติซึ่งทำการวิเคราะห์โดยการวิเคราะห์เชิงเลข และแบบจำลองที่สองเป็นกรณีการกruise กระจายอุณหภูมิภายในชั้นหนาไม่สามมิติ โดยในกรณีนี้ได้แบ่งการวิเคราะห์ออกเป็นสองอย่างคือ การวิเคราะห์เชิงเลขและการวิเคราะห์เชิงคณิตศาสตร์ ในกรณีที่การวิเคราะห์เชิงเลขทั้งกรณีการกระจายอุณหภูมิในชั้นหนาสามมิติและไม่สามมิติพบว่าให้ผลที่ใกล้เคียงกัน แต่จะมีความแตกต่างกัน ซึ่งมากจากผลที่ได้จากการวิเคราะห์เชิงคณิตศาสตร์กรณีที่การกระจายอุณหภูมิในชั้นหนาไม่สามมิติ และเมื่อนำผลการคำนวณมาเปรียบเทียบกับผลการทดลองซึ่งมีผู้อื่นทดลองไว้แล้วจะพบว่าผลการคำนวณที่ได้จากการวิเคราะห์เชิงคณิตศาสตร์กรณีการกระจายอุณหภูมิในชั้นหนาไม่สามมิติให้ผลที่ใกล้เคียงกับผลการทดลองมากกว่าอีกสองกรณี

\* นักศึกษาปริญญาโท ภาควิชาวิศวกรรมเครื่องกล คณะวิศวกรรมศาสตร์ มหาวิทยาลัยขอนแก่น

\*\* ผู้ช่วยศาสตราจารย์ ภาควิชาวิศวกรรมเครื่องกล คณะวิศวกรรมศาสตร์ มหาวิทยาลัยขอนแก่น

\*\*\* รองศาสตราจารย์ ภาควิชาวิศวกรรมเครื่องกล คณะวิศวกรรมศาสตร์ มหาวิทยาลัยขอนแก่น

## Heat Transfer in Packed Bed

Miss.Preeyakamon Lertwattanaphaisal\*

Dr.Boonsrang Direcksatapom\*\*

Dr.Sommai Priprem\*\*\*

Dr.Somnuk Theerakupisut\*\*\*

### Abstract

A great deal of work on the heat transfer between a packed bed of solid particles and the fluid flowing through it was published in the literature. However, most of it neglected the effect of heat conduction in the solid particles by assuming that the solid particles are small and/or the thermal conductivity of the solid material is high. Therefore the results of such a simple model is valid only under the circumstance where the assumption holds. In this study , we attempted to model the heat transfer process by taking into account the effect of heat conduction in the solids particles in the bed . Two models were investigated in this study. One is a uniform-temperature model which was numerically solved. The other model is a non-uniform temperature one which was solved by finite-difference technique and by analytical approach. The models were simulated to compare the results and it was found that the two models when solved by the finite-difference technique yielded similar results. However , the results of the non-uniform model with the analytical solution indicated a significant difference from the other two solutions. When compared with the experimental results available in the literature , it was found that the non-uniform-temperature model yielded the simulation results in better agreement with the experimental values

\* Graduate student , Department of Mechanical Engineering ,  
Faculty of Engineering , Khon Kean University

\*\* Assistant Professor., Department of Mechanical Engineering ,  
Faculty of Engineering , Khon Kean University

\*\*\* Associate Professor , Department of Mechanical Engineering ,  
Faculty of Engineering , Khon Kean University

### 1. บทนำ

กระบวนการในการนำของไอลรชั่งมีอุณหภูมิสูงไอลผ่านชั้นวัสดุหนา (packed bed of solid Partical) ที่มีอุณหภูมิต่ำกว่าเพื่อให้เกิดการแลกเปลี่ยนความร้อนระหว่างชั้นวัสดุหนาและของไอลนั้น เป็นกระบวนการที่ใช้ในงานอุตสาหกรรมหลายชนิดคู่กัน เช่นในกระบวนการ การสะท้อนพลังงานความร้อนจากแสงอาทิตย์เครื่องแลกเปลี่ยนความร้อน (heat exchanger) และรีเจนเนอร์เรเตอร์ (regenerator) ถึงแม้หลักการพื้นฐานในแต่ละกระบวนการจะเหมือนกันคือใช้ของไอลรชั่งมีอุณหภูมิสูงไอลผ่านชั้นวัสดุหนาที่มีอุณหภูมิต่ำกว่า แต่ชนิดของของไอลและชนิดของชั้นวัสดุหนาและวิธีการที่ใช้ก็จะแตกต่างกันไป ดังนั้นงานที่ศึกษาเกี่ยวกับการถ่ายเทความร้อนในชั้นวัสดุหนา จึงมีเป็นจำนวนมาก

การถ่ายเทความร้อนระหว่างของไอลและวัสดุหนาภายในชั้นวัสดุหนา จากการศึกษาของ Schumann (1929) พบว่าจะเข้าอยู่กับตัวแปรหลายตัวไม่ว่าจะเป็น การเปลี่ยนแปลงอุณหภูมิของวัสดุหนาและของไอล ความเร็วและความคันของของไอล ความหนาแน่นของของไอลและวัสดุหนา ค่าความถี่ความร้อนของของไอลและวัสดุหนา ค่าสัมประสิทธิ์การพาความร้อนระหว่างของไอลและวัสดุหนา เป็นต้น การศึกษาจะแบ่งออกเป็น 2 กรณีคือ กรณีการกระจายอุณหภูมิในชั้นวัสดุหนาสม่ำเสมอและกรณีการกระจายอุณหภูมิในชั้นวัสดุหนาไม่สม่ำเสมอ

### 2 การถ่ายเทความร้อนกรณีที่การกระจายอุณหภูมิชั้นวัสดุหนาสม่ำเสมอ

ในการพิจารณาการถ่ายเทความร้อน ระหว่างของไอลและวัสดุตัวกลางภายใน ชั้นวัสดุหนา กรณีการกระจายอุณหภูมิของชั้นวัสดุหนาสม่ำเสมออนึ่งพิจารณาถึงการกระจายของอุณหภูมิที่เกิดขึ้นทั้งในส่วนของของไอลและในส่วนที่เป็นชั้นวัสดุหนาแต่ จะถือว่าอุณหภูมิกماในชั้นวัสดุหนานั้นเท่ากันทั้งก่อน

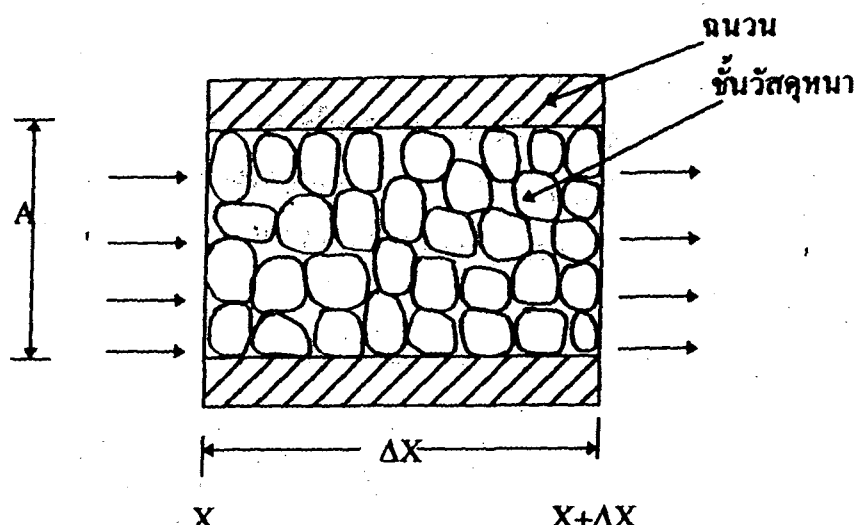
จากการพิจารณาสมดุลของพลังงานในปริมาตรควบคุมเล็กๆ ในชั้นวัสดุหนา . ดังรูป 1 สามารถเขียนสมการความสมดุลของพลังงาน โดยไม่มีการสูญเสียความร้อนให้แก่สิ่งแวดล้อม และไม่มีพลังงานความร้อนที่ผลิตขึ้นเองได้ดังนี้

สมการความสมดุลพลังงานของไอลคือ

$$\rho_a C_a A_a \left[ \frac{\partial T}{\partial t} + u \frac{\partial T}{\partial x} \right] = A_a K_a \frac{\partial^2 T}{\partial x^2} + h_v A (\theta - T) \quad (1)$$

พื้นที่ที่ใช้ในการถ่ายเทความร้อนของของไอล  $A_a = \varepsilon A$

$$\rho_a C_a \varepsilon A \left[ \frac{\partial T}{\partial t} + u \frac{\partial T}{\partial x} \right] = \varepsilon A K_a \frac{\partial^2 T}{\partial x^2} + h_v A (\theta - T) \quad (2)$$



รูปที่ 1 การ传热ของของไอลผ่าน ชั้นวัสดุหนา

พิจารณาความสนคุณภาพงานของชั้นวัสดุหนา ในท่านองเดียวกับสนการของชั้นวัสดุหนาจะได้ว่า

$$\rho_b C_b (1-\varepsilon) A \left[ \frac{\partial \theta}{\partial x} \right] = (1-\varepsilon) A K_b \frac{\partial^2 \theta}{\partial x^2} + h_v A (T - \theta) \quad (3)$$

ข้อสนนบดีฐานเพิ่มเติมในการพิจารณาคือ

1. ไม่คิดการถ่ายเทความร้อนในแนวรัศมีของชั้นหนา
2. ไม่คิดค่าการนำความร้อนระหว่างก้อนของชั้นวัสดุหนา และค่าการนำความร้อนของไอล
3. ถือว่าไม่มีการถ่ายเทนวล
4. ความเร็วและความดันของของไอลถือว่ามีค่าคงที่ตลอดชั้นหนา
5. ไม่คิดผลของการเปลี่ยนแปลงปริมาตรของของไอลและชั้นวัสดุหนา      ที่มาจากการเปลี่ยนแปลงอุณหภูมิ
6. เมื่อจากถือว่าวัสดุที่ใช้ในการส่งถ่ายความร้อนมีค่าการนำความร้อนสูงมาก คั่งน้ำดีอุณหภูมิของชั้นวัสดุหนาเท่ากันทั้งก้อน

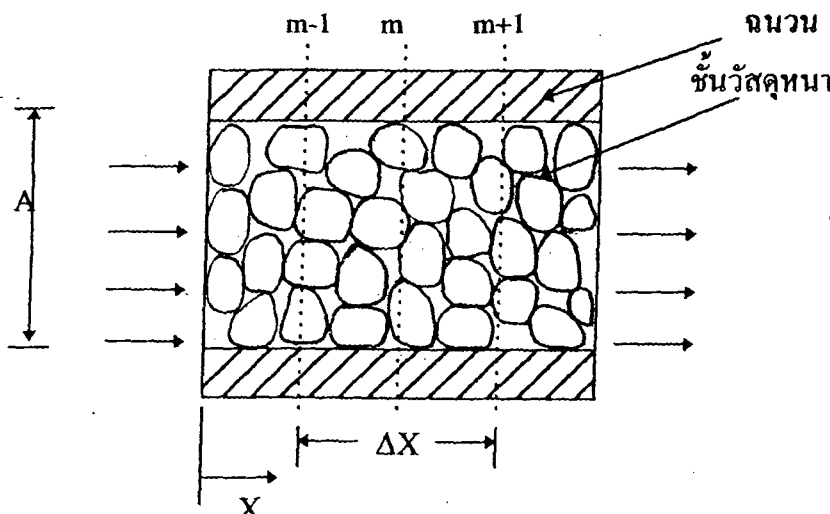
จากการศึกษาของ Maclaine-Cross (1980) ได้พบว่าค่าอัตราส่วนค่าความซุกความร้อนของชั้นวัสดุหนาต่อความซุกความร้อนของของไอลมีค่ามากกว่า 100 จะถือว่าค่าอัตราการเปลี่ยนแปลงอุณหภูมิของของไอลสามารถตัดทิ้งได้

$$\frac{\rho_b C_b (1-\varepsilon)}{\rho_a C_a \varepsilon} > 100$$

สมการ (2) จะสามารถตัดเทอนอัตราการเปลี่ยนแปลงอุณหภูมิออกได้

$$\varepsilon \rho_a C_a \frac{\partial T}{\partial x} = h_v (\theta - T) \quad (4)$$

ในการศึกษาการถ่ายเทความร้อนกรณีการกระจายอุณหภูมิในชั้นวัสดุหนาสม่ำเสมอ จะใช้วิธีการวิเคราะห์เชิงเลข เมื่อจากสมการที่ได้สามารถแก้สมการได้ง่ายและขั้งสามารถทำการคำนวณได้อย่างรวดเร็วอีกด้วย โดยในการศึกษาระยะแบ่งชั้นวัสดุหนาออกเป็นชั้นบางๆ ดังรูปที่ 2 แล้วทำการหาค่าของอุณหภูมิของชั้นวัสดุหนาและของไอลที่เปลี่ยนแปลงตามระยะทางและเวลาในแต่ละชั้น



รูปที่ 2 การศึกษาโดยใช้วิธีการวิเคราะห์เชิงเลขของชั้นวัสดุหนา

จากสมการ (3) และ (4) สามารถเขียนสมการใหม่โดยใช้วิธีการวิเคราะห์เชิงเลข คือ

$$\text{จากสมการที่ (3)} \quad T_{m+1}^i - T_{m-1}^i = \frac{1}{B} (\theta_m^i - T_m^i) \quad (5)$$

$$\text{จากสมการ (4)} \quad \theta_m^{i+1} - \theta_m^i = \frac{1}{C} (T_{m-1}^i - T_{m+1}^i) \quad (6)$$

$$\text{โดยที่ } B = \frac{\rho_a C_a \varepsilon u}{h_v \Delta x} \quad \text{และ } C = \frac{(1-\varepsilon) \rho_b C_b \Delta x}{\rho_a C_a u \varepsilon \Delta t}$$

จัดรูปสมการ (5) และ (6) ใหม่เพื่อให้อ่านในรูปที่สะดวกในการคำนวณ

สมการการเปลี่ยนแปลงอุณหภูมิของไอลคือ

$$T_{m+1}^i = \frac{1}{1+2B} (2\theta_m^i + (2B-1) T_m^i) \quad (7)$$

สมการการเปลี่ยนแปลงอุณหภูมิของชั้นวัสดุหนาคือ

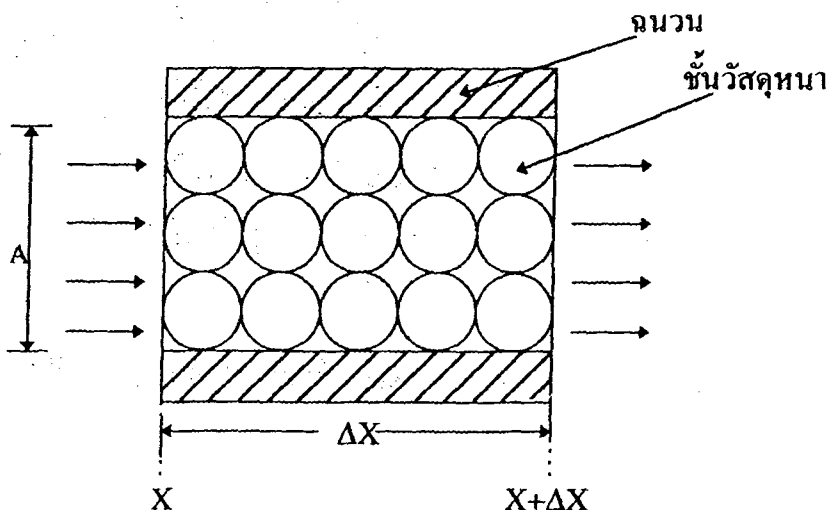
$$\theta_{m+1}^{i+1} = \frac{1}{2} \left( \left( \frac{2}{C} + 1 - 2B \right) T_m^i + \left( 1 + 2B - \frac{2}{C} \right) T_{m+1}^i \right) \quad (8)$$

สมการที่ (7) และ (8) คือสมการที่จะนำไปใช้ แต่ค่าอุณหภูมิที่ได้จากการแก้สมการจะนิ่งเป็นลบไม่ได้ เพื่อเป็นการป้องกันการเกิดความไม่เสถียรนี้

$$B > 1/2 \text{ และ } C > (2/(1+2B))$$

### 3. การถ่ายเทความร้อนกรณีการกระจายอุณหภูมิชั้นวัสดุหนาไม่สม่ำเสมอ

จากหัวข้อที่ผ่านมาดีอ้วกวิธีการกระจายอุณหภูมิของชั้นวัสดุหนาสม่ำเสมอได้เนื่องจาก กำหนดให้ชั้นวัสดุหนานี้สมประสงค์การนำความร้อนที่สูงมาก ทำให้อุณหภูมิของชั้นวัสดุหนา เท่ากันทั้งท่อน แต่ในหัวข้อนี้จะพยายามโดยกำหนดให้มีการกระจายของอุณหภูมิเกิดขึ้นภายในชั้นวัสดุหนาด้วย โดยให้ชั้นวัสดุหนาที่อยู่ภายในชั้นหนานี้ลักษณะเป็นทรงกลมและมีการวางเป็นลำดับชั้น ดังรูปที่ 3



รูปที่ 3 การไหลของของไหลผ่านชั้นวัสดุหนา

พิจารณาการความสมดุลพลังงานในปริมาตรควบคุมเด็กๆ ในรูปที่ 3 สามารถเขียนสมการความสมดุลพลังงานได้ดังนี้

พิจารณาความสมดุลพลังงานของของไหล

$$\varepsilon \rho_a C_a u \frac{\partial T}{\partial x} = h_v (\theta - T) \quad (9)$$

พิจารณาความสมดุลพลังงานภายในวัสดุหนา

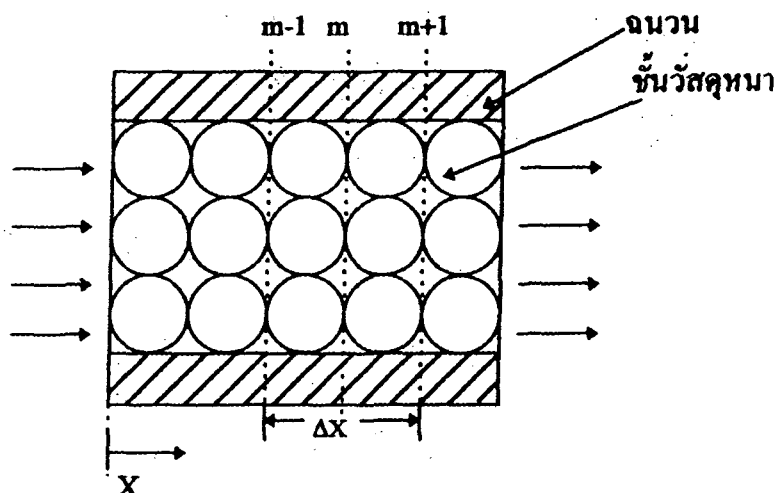
$$(1-\varepsilon) \rho_b C_b \frac{\partial \theta}{\partial r} = K_b (1-\varepsilon) \frac{1}{r^2} \frac{\partial}{\partial r} \left( r^2 \frac{\partial \theta}{\partial r} \right) \quad (10)$$

และพิจารณาความสมดุลพลังงานที่ผิวของวัสดุหนา

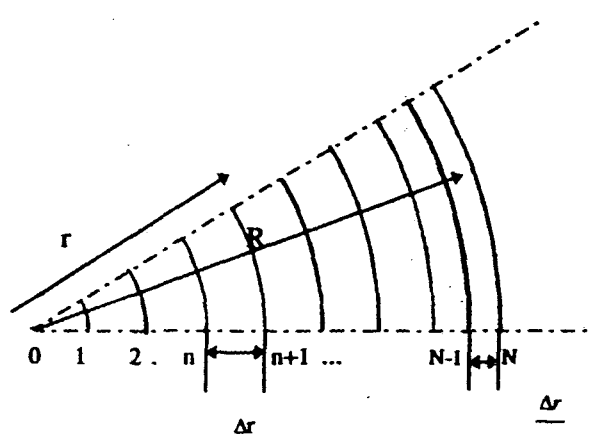
$$\left[ K_b \frac{\partial \theta}{\partial \sigma} \right]_{r=R} = h(\theta - T) \quad (11)$$

#### 4. การศึกษาการถ่ายเทความร้อนกรณีที่อุณหภูมิชั้นวัสดุหนากระยะไม่สม่ำเสมอโดยการประมาณ

ในหัวข้อนี้เป็นการศึกษาการถ่ายเทความร้อนกรณีอุณหภูมิชั้นวัสดุหนากระยะไม่สม่ำเสมอโดยใช้วิธีการวิเคราะห์เชิงเลข และคิดการเปลี่ยนแปลงอุณหภูมิกายในวัสดุตามแนวรัศมี



รูปที่ 4 รูปแสดงการประมาณโดยการวิเคราะห์เชิงเลขของชั้นวัสดุหนา



รูปที่ 5 รูปแสดงการประมาณโดย การวิเคราะห์เชิงเลข ของชั้นวัสดุหนาที่เป็นทรงกลม

จากสมการ (9) (10) และ (11) และจากรูปที่ 4 และ 5 สามารถเขียนสมการทั้งสามใหม่ให้อยู่ในรูปแบบของสมการการวิเคราะห์เชิงเลข ได้ดังนี้

จากสมการ (9)  $T_{m+1}^i - T_{m-1}^i = \frac{1}{B}(\theta_m^i - T_m^i)$  (12)

โดยที่  $B = \frac{\rho_a C_a \varepsilon u}{h_v \Delta x}$  และจากการประมาณ  $T_m^i = \frac{T_{m+1}^i + T_{m-1}^i}{2}$

สมการการกระจายอุณหภูมิในของไอลคีอ

$$T_{m+1}^i = \frac{2}{2B+1}(2\theta_R^i + (2B+1)T_{m-1}^i) \quad (13)$$

จากสมการ (10) สามารถเปลี่ยนให้อยู่ในรูปสมการการวิเคราะห์เชิงเลขได้เป็น

$$\rho_b C_b \Delta V_n \left( \frac{\theta_n^{i+1} - \theta_n^i}{\Delta \tau} \right) = K_b \left[ \frac{\theta_{n-1}^i - \theta_n^i}{R_{n-1}} + \frac{\theta_{n+1}^i - \theta_n^i}{R_{n+1}} \right]$$

โดยที่

$$R_{n-1} = \frac{\Delta r}{4\pi \left( n\Delta r - \frac{\Delta r}{2} \right)^2} \quad R_{n+1} = \frac{\Delta r}{4\pi \left( n\Delta r + \frac{\Delta r}{2} \right)^2}$$

$$\Delta V_n = 4\pi(n\Delta r)^2 \Delta r$$

ดังนั้นสมการการกระจายอุณหภูมิภายในวัสดุหนาคือ

$$\theta_n^{i+1} = \frac{K_b \Delta \tau}{\rho_b C_b \Delta V_n} \left[ \frac{\theta_{n-1}^i - \theta_n^i}{R_{n-1}} + \frac{\theta_{n+1}^i - \theta_n^i}{R_{n+1}} \right] + \theta_n^i \quad (14)$$

สมการการเปลี่ยนแปลงอุณหภูมิที่ผิวของวัสดุหนาสมการ (11) สามารถเขียนใหม่ได้ดังนี้

$$\rho_b C_b \Delta V_N \left( \frac{\theta_N^{i+1} - \theta_N^i}{\Delta \tau} \right) = K_b \left[ \frac{\theta_N^i - \theta_{N-1}^i}{R_N} \right] + Ah[T_m^i - \theta_N^i] \quad (15)$$

โดยที่

$$R_N = \frac{\Delta r}{4\pi \left( N\Delta r - \frac{\Delta r}{2} \right)^2} \quad \Delta V_N = 4\pi(N\Delta r)^2 \frac{\Delta r}{2}$$

ดังนั้น สมการการเปลี่ยนแปลงอุณหภูมิที่ผิวของชั้นวัสดุหนาคือ

$$\theta_N^{i+1} = \frac{K_b \Delta \tau}{\rho_b C_b \Delta V_N} \left[ \frac{\theta_N^i - \theta_{N-1}^i}{R_N} \right] + \frac{Ah \Delta \tau}{\rho_b C_b \Delta V_N} [T_m^i - \theta_N^i] + \theta_N^i \quad (16)$$

จากผลการศึกษาสมการที่ใช้ในการหาค่าการเปลี่ยนแปลงอุณหภูมิของชั้นวัสดุหนาและของไอลคีอ สมการ (13) ใช้ในการหาค่าการเปลี่ยนแปลงอุณหภูมิของของไอล สมการ (14) ใช้ใน

การหาค่าการเปลี่ยนแปลงอุณหภูมิภายในชั้นวัสดุหนาและสมการ (16) ใช้หาการเปลี่ยนแปลงอุณหภูมิที่ผิวดองชั้นวัสดุหนา

### 5. การศึกษาการถ่ายเทความร้อนกรณีการกระจายอุณหภูมิในชั้นวัสดุหนาไม่สม่ำเสมอโดยการวิเคราะห์เชิงคณิตศาสตร์

จากการศึกษาที่ในหัวข้อที่ 3 เป็นการศึกษาการเปลี่ยนแปลงของอุณหภูมิภายในชั้นวัสดุหนา โดยการใช้การประมาณเข้ามาช่วยในการแก้สมการ แต่การศึกษาด่อไปนี้จะเป็นการนำสมการ (9) (10) และ (11) มาวิเคราะห์เชิงคณิตศาสตร์

$$\text{จากสมการ (9) จัดรูปสมการใหม่ได้เป็น} \quad \frac{\partial T}{\partial x} = k_1(\theta - T) \quad (17)$$

$$\text{และจากสมการที่ (10)} \quad -\frac{\partial T}{\partial r} = k_2(\theta - T) \quad (18)$$

$$\text{โดยที่} \quad k_1 = \frac{h}{\rho_a C_a u \varepsilon} \quad k_2 = \frac{h}{k_b}$$

$$\text{กำหนดให้} \quad y = k_1 x \quad \text{ให้} \quad z = k_2 r$$

สมการ (17) และ (18) สามารถเขียนใหม่ได้เป็น

$$\frac{\partial T}{\partial y} = \theta - T \quad (19)$$

$$-\frac{\partial \theta}{\partial z} = \theta - T \quad (20)$$

กำหนดให้

$$T - T_0 = (\theta_0 - T_0)(U - V)^{y-z} \quad (21)$$

$$\theta - T_0 = (\theta_0 - T_0)(U + V)^{y-z} \quad (22)$$

จากสมการ (21) และ (22) จะพบว่า

$$\begin{aligned} U + V &= \frac{\partial U}{\partial y} - \frac{\partial V}{\partial y} \\ U - V &= \frac{\partial U}{\partial z} + \frac{\partial V}{\partial z} \end{aligned} \quad (23)$$

จากสมการ (23) จะพบว่า

$$\frac{\partial V^2}{\partial y \partial z} = V \quad (24)$$

เงื่อนไขขอนเบต ที่  $y = 0$  ( $x = 0$ )  $T = T_0$  และ  $\theta = \theta_0$

จากค่าเงื่อนไขขอนเบตดังกล่าวสามารถหาค่าของ  $U$  และ  $V$  ได้คือ

$$T_0 - T_0 = (\theta_0 - T_0)(U - V)^{-y-z}$$

$$\theta_0 - T_0 = (\theta_0 - T_0)(U + V)^{-y-z}$$

$$U = 1/2 \quad \text{และ} \quad V = 1/2$$

$$\text{กำหนดให้ } \lambda^2 = -4yz$$

แทนค่าลงในสมการ (24)

$$\frac{d^2V}{d\lambda^2} + \frac{1}{\lambda} \frac{dV}{d\lambda} + V = 0 \quad (25)$$

สมการ (25) สามารถแก้สมการให้ออกในรูปสมการ เบสเซล (Bessel function) คือ

$$V = cJ_0(\lambda) \quad (26)$$

$$\text{จากค่าเงื่อนไขข้อมูลที่ } y = 0 \quad V = 1/2$$

$$\text{แทนค่าลงในสมการ (26) จะพบว่า } c = 1/2$$

$$\text{ดังนั้น } V = 1/2J_0(\lambda) \quad (27)$$

$$V = 1/2J_0(2i\sqrt{yz}) = 1/2M_0(yz)$$

$$\text{โดยที่ } M_0(a) = J_0(2i\sqrt{a}) = 1 + a + \frac{a^2}{(2!)^2} + \frac{a^3}{(3!)^3} + \dots$$

นำสมการที่ (23) มาอินทิเกรต

$$U = e^y \int e^{-y} \left( V + \frac{\partial V}{\partial y} \right) \partial y - e^y f(z) \quad (28)$$

โดย  $f(z)$  คือฟังก์ชันของ  $z$

$$\text{จากการอินทิเกรตโดยส่วน } \int e^{-y} \partial V = e^{-y} V - \int V \partial e^{-y} = e^{-y} V + \int e^{-y} V \partial y$$

ดังนั้น

$$U = V + e^y \int (e^{-y} V \partial y + e^{-y} V \partial y) - e^y f(z)$$

$$= V + 2e^y \int (e^{-y} V \partial y) - e^y f(z)$$

$$\text{โดยการประมาณ } 2e^y \int e^{-y} V \partial y = -2 \left( V + \frac{\partial V}{\partial y} + \frac{\partial^2 V}{\partial y^2} + \dots \right)$$

$$\text{แต่ } V = 1/2M_0(yz)$$

$$\text{ดังนั้น } 2e^y \int e^{-y} V \partial y = - \sum_{n=0}^{\infty} z^n M_n(yz)$$

โดยที่ฟังก์ชัน  $M_n(a)$  นิยามว่า

$$M_n(a) = \frac{d^n M_0(a)}{da^n}$$

แทนค่าตัวแปรต่างๆที่ได้ลงในสมการ (28)

$$U = \frac{1}{2} Mo(yz) - \sum_{n=0}^{\infty} z^n Mn(yz) - e^{-y} f(z) \quad (29)$$

จากเงื่อนไขค่าของเบต้าที่  $y = 0 \quad U = 1/2$

$$\frac{1}{2} = \frac{1}{2} Mo(0) - \sum_{n=0}^{\infty} z^n Mn(0) - f(z)$$

แต่  $Mo(0) = I$  ดังนั้น  $f(z) = \sum_{n=0}^{\infty} z^n Mn(0)$

ดังนั้น  $U = \frac{1}{2} Mo(yz) - \sum_{n=0}^{\infty} z^n Mn(yz) - e^{-y} \left( 1 - \sum_{n=0}^{\infty} z^n Mn(0) \right)$

นำค่า  $U$  และ  $V$  ที่ได้แทนค่าลงในสมการ (21) และสมการ (22)

จาก  $T - T_0 = (\theta_0 - T_0)(U - V)^{y-z}$

$$T = T_0 + (\theta_0 - T_0) \left( - \sum_{n=0}^{\infty} z^n Mn(yz) + e^y \left( \sum_{n=0}^{\infty} z^n Mn(0) \right) \right) e^{-y-z} \quad (30)$$

จาก  $\theta - T_0 = (\theta_0 - T_0)(U + V)^{y-z}$

$$\theta = T_0 + (\theta_0 - T_0) \left( Mo(yz) - \sum_{n=0}^{\infty} z^n Mn(yz) + e^y \left( \sum_{n=0}^{\infty} z^n Mn(0) \right) \right) e^{-y-z} \quad (31)$$

สมการ (30) เป็นสมการที่ใช้ทำการเปลี่ยนแปลงอุณหภูมิในของไอล และสมการ (31) เป็นสมการที่ใช้อุณหภูมิที่ผิวของชั้นวัสดุหนาในชั้นตอนต่อไปเรื่อยๆ ทำการเปลี่ยนแปลงอุณหภูมิภายในชั้นวัสดุหนา

จากสมการ (10)  $(1-\varepsilon) \rho_b C_b \frac{\partial \theta}{\partial r} = K_b (1-\varepsilon) \frac{1}{r^2} \frac{\partial}{\partial r} \left( r^2 \frac{\partial \theta}{\partial r} \right)$

กำหนดให้  $k_3 = k_b / (C_b \rho_b)$  และ  $u = r(T - \theta)$

สมการ (10) เปลี่ยนเป็น

$$\frac{\partial u}{\partial r} = k_3 \left( \frac{\partial^2 u}{\partial r^2} \right) \quad (32)$$

ดังนั้นเงื่อนไขค่าของเบต้าและเงื่อนไขค่าเริ่มต้นคือ

ที่  $r = R \quad -K_b \frac{\partial u}{\partial r} + \left( \frac{k_3}{r} - h \right) = 0 \quad (33)$

ที่  $r = 0 \quad u = 0 \quad (34)$

ที่  $\tau = 0 \quad u = r(T_0 - \theta_0) = u_0 \quad (35)$

เนื่องจากสมการ (34) และ (35) เป็นสมการเชิงเส้น-เอกพันธ์ โดยที่

$$u = G(r)H(\tau) \quad (36)$$

แทนค่าสมการ (36) ลงในสมการ (32)

$$k3G''(r)H(\tau) = G(r)H'(\tau) = -\lambda^2$$

$$\frac{G''(r)}{G(r)} = \frac{H'(\tau)}{k3H(\tau)} = -\lambda^2$$

โดยที่  $-\lambda^2$  คือค่าคงที่ของการแยกตัวแปร  
ดังนั้น

$$\frac{d^2G(r)}{dr^2} + \lambda^2 G(r) = 0$$

$$\frac{dH(\tau)}{d\tau} + k3\lambda^2 H(\tau) = 0$$

คำตอบของค่าไอigen ค่าหนึ่งคือ

$$G(r) = A\sin(\lambda r) + B\cos(\lambda r)$$

$G(r)$  ที่สอดคล้องกับสมการ (34) และ (35) คือ

$$G(r) = A\sin(\lambda r)$$

จากสมการอนุพันธ์ของ  $H(\tau)$

$$H(\tau) = ce^{-k3\lambda^2\tau}$$

แทนค่า  $G(r)$  และ  $H(\tau)$  ในสมการ (36)  $u = (A\sin(\lambda r))ce^{-k3\lambda^2\tau}$  (37)

แทนค่าสมการ (37) ลงในสมการ (33) เพื่อหาค่า  $\lambda$

$$\tan(\lambda_n R) = \frac{K_b \lambda_n R}{K_b - hR} \quad (38)$$

จากสมการ (38) ที่ได้สามารถหาค่า  $\lambda_n$  ได้โดยใช้วิธี การวิเคราะห์เชิงเลข จากการที่รู้ค่า  $\lambda_n$  ทำให้สมการ (37) สามารถเขียนอยู่ในรูป

$$u = \sum_{n=0}^{\infty} k_n \sin(\lambda_n r) e^{-k3\lambda_n^2 r} \quad (39)$$

โดยค่า  $K_n$  คือค่าคงที่

สมการ (39) จะสอดคล้องกับสมการ (35)

$$r(T_0 - \theta_0) = \sum_{n=1}^{\infty} k_n \sin(\lambda_n r) \quad (40)$$

โดยอาศัยความบิด Orthogonality ของ  $\sin(\lambda_n r)$

$$k_n = \frac{4(T_0 - \theta_0) \sin(\lambda_n R) - \lambda_n R \cos(\lambda_n R)}{\lambda_n R (2\lambda_n R - \sin(2\lambda_n R))} \quad (41)$$

จาก  $n = r(T-\theta)$  และจากสมการ (41) เมื่อแทนค่าในสมการ (39) จะได้ค่า  $\theta$  คือ

$$\theta = T + \left[ \frac{4(T_0 - \theta_0) \sin(\lambda_n R) - \lambda_n R \cos(\lambda_n R)}{\lambda_n R (2\lambda_n R - \sin(2\lambda_n R))} \right] \left[ \frac{\sin(\lambda_n r)}{(\lambda_n r)} \right] e^{-k_3 \lambda_n^2 r} \quad (42)$$

โดยอุณหภูมิที่ได้จากการ (42) เป็นการกระจายอุณหภูมิกาชในชั้นวัสดุหนาส่วนอุณหภูมิที่ผิวของชั้นวัสดุหนาสามารถหาได้จากการ (31) และสมการ (30) เป็นสมการที่ใช้หาการกระจายอุณหภูมิของของไอล

## 6. การจำลองสถานการณ์

เพื่อเป็นการทดสอบว่าแบบจำลองทางคณิตศาสตร์แบบใดที่ให้ผลการคำนวณที่แม่นยำมากกว่า สามารถทำได้โดยการคำนวณแบบจำลองทางคณิตศาสตร์ทั้งสามมาตรฐานเปรียบเทียบกับผลการทดลอง แต่เนื่องจากการทดลองที่มีผู้ทำไว้เป็นการทดลองโดยที่กำหนดให้อุณหภูมิของชั้นวัสดุหนาเท่ากันทั้งก้อน ดังนั้นในการเปรียบเทียบจะต้องหาอุณหภูมิของของไอลและอุณหภูมิที่ผิวของชั้นวัสดุหนาเท่านั้นว่าแบบจำลองใดให้ผลที่ใกล้เคียงกับการทดลองมากกว่า โดยในการคำนวณข้อมูลที่จะต้องใช้ในการคำนวณคือ ความขาวของชั้นวัสดุหนา เวลาที่ใช้ในการทดลอง อัตราส่วนของของไอล ความถูกความร้อนของของไอล ความหนาแน่นของของไอล อุณหภูมิเริ่มต้นของของไอล ความถูกความร้อนของชั้นวัสดุหนา ความหนาแน่นของชั้นวัสดุหนา และอุณหภูมิเริ่มต้นของชั้นวัสดุหนา

จากการทดลองของ Natavut (1981) ได้ทำการทดลองโดยใช้อากาศร้อนไอลผ่านชั้นของก้อนหินปูน (Limestone) ซึ่งมีคุณสมบัติดังนี้

เส้นผ่าศูนย์กลางของหินที่ใช้ 0.043 m

ค่าอัตราส่วนของว่างของหิน 0.496

ค่าความถูกความร้อนจำเพาะ 0.736 kJ/kg °C

ความหนาแน่นของหิน 2517 kg/m<sup>3</sup>

ความขาวของชั้นวัสดุหนา 0.45 m

อัตราการไหลของอากาศ 0.15 m/s

สำหรับคุณสมบัติทางความร้อนของอากาศสามารถหาได้จากการดังต่อไปนี้

ค่าความถูกความร้อนจำเพาะ  $1005 - [(T+273.15)-250]/50]^2$  kJ/kg °C

ความหนาแน่นของหิน 352.98/(T+273.15) kg/m<sup>3</sup>

การเปรียบเทียบผลการคำนวณและผลการทดลองสรุปตารางที่ 1 ดังนี้

ตารางที่ 1 ผลของการระบายความร้อนในของแข็งแบบไขว้ ให้ดูหหภูมิภายนอก 65.0 °C, อุณหภูมิภายในของแข็ง 30.7 °C,  
 $r = 0.0432$   $u = 0.15$  m/s

เวลา วินาที	ระดับ ห้อง ชาติ ภูมิ	ผลของการ หล่อเย็น	การกระ化ของ อุณหภูมิใน			การกระ化ของอุณหภูมิในของแข็งไม่ถ่วงตัว			การกระ化ของอุณหภูมิในของแข็งถ่วงตัว			
			Naavut (1981)	ของแข็ง	ถ่วงตัว	Naavut (1981)	ของแข็ง	ถ่วงตัว	T <sub>a</sub> (°C) (m)	T <sub>b</sub> (°C) (°C)	T <sub>a</sub> (°C)	T <sub>b</sub> (°C) (°C)
0	0.050	30.70	30.70	30.70	30.70	30.70	30.70	30.70	30.70	30.70	30.70	30.70
0	0.200	31.00	31.00	30.70	30.70	30.70	30.70	30.70	30.70	30.70	30.70	30.70
0	0.350	31.00	31.00	30.70	30.70	30.70	30.70	30.70	30.70	30.70	30.70	30.70
0	0.450	30.70	30.70	30.70	30.70	30.70	30.70	30.70	30.70	30.70	30.70	30.70
1	0.050	60.50	59.00	64.59	63.19	64.46	62.43	62.55	62.64	62.77	64.93	57.58
1	0.200	57.10	55.20	62.16	59.11	61.77	57.78	57.86	58.00	58.19	58.44	62.66
1	0.350	46.90	42.90	58.56	54.43	57.97	52.87	52.98	53.15	53.40	53.71	53.06
1	0.450	40.00	39.00	55.79	51.32	55.16	49.75	49.86	50.04	50.30	50.64	44.52

ตารางที่ 1 (ต่อ) แสดงการกระจายของอุณหภูมิในชั้นเดียว ภาคที่ โอบอุณหภูมิอากาศ 65.0 °C, อุณหภูมิของน้ำร้อนคงที่ 30.7 °C,

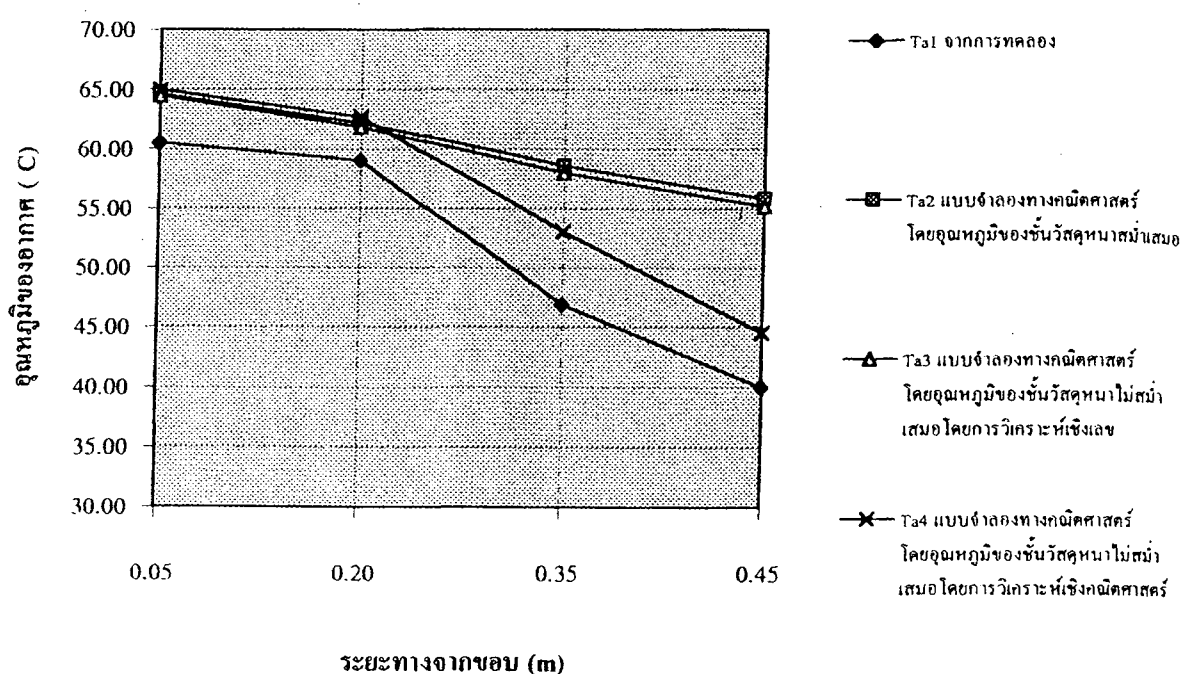
$$r = 0.0432 \text{ s} = 0.15 \text{ m/s}$$

เวลา ห่าง จาก จุด เริ่ม	ระยะ (hr)	ผิวโลกการ ลดลงโดย 自然 (1981)	การกระจาย การกระจายอุณหภูมิในชั้นเดียวไม่ถูกกีดขวาง					การกระจายอุณหภูมิในชั้นเดียวไม่ถูกกีดขวาง					การกระจายอุณหภูมิในชั้นเดียวไม่ถูกกีดขวาง				
			T <sub>a</sub>	T <sub>b</sub>	T <sub>a</sub>	T <sub>b</sub>	T <sub>a</sub>	T <sub>b</sub> (°C)	ระยะห่างจากจุดศูนย์กลาง (m)	T <sub>a</sub>	T <sub>b</sub> (°C)	ระยะห่างจากจุดศูนย์กลาง (m)	T <sub>a</sub>	T <sub>b</sub> (°C)	ระยะห่างจากจุดศูนย์กลาง (m)	T <sub>a</sub>	T <sub>b</sub> (°C)
	(m)	(°C)	(°C)	(°C)	(°C)	(°C)	0.009	0.017	0.026	0.035	0.043	(°C)	0.009	0.017	0.026	0.035	0.043
2	0.050	62.70	62.50	64.97	64.90	64.96	64.82	64.83	64.83	64.84	64.85	65.00	63.38	64.29	64.83	64.98	65.00
	0.200	62.70	62.20	64.71	64.57	64.60	63.97	63.98	64.00	64.03	64.07	64.94	62.28	63.54	64.46	64.84	64.94
	0.350	59.40	57.50	64.02	63.11	63.73	62.41	62.43	62.48	62.54	62.63	64.12	59.07	60.90	62.60	63.62	64.11
3	0.450	56.00	55.00	63.26	61.94	62.83	61.01	61.04	61.10	61.19	61.30	62.00	55.29	57.36	59.52	61.07	61.99
	0.050	64.70	64.50	64.99	64.99	64.99	64.99	64.99	64.99	64.99	64.99	65.00	64.65	64.90	64.99	65.00	65.00
	0.200	64.20	64.00	64.97	64.93	64.95	64.87	64.88	64.88	64.88	64.89	65.00	64.40	64.79	64.95	65.00	65.00
	0.350	62.00	61.50	64.88	64.74	64.81	64.56	64.57	64.58	64.59	64.60	64.97	63.65	64.36	64.79	64.93	64.97
	0.450	61.00	60.70	64.74	64.49	64.61	64.20	64.21	64.22	64.24	64.27	64.81	62.60	63.62	64.36	64.96	64.82

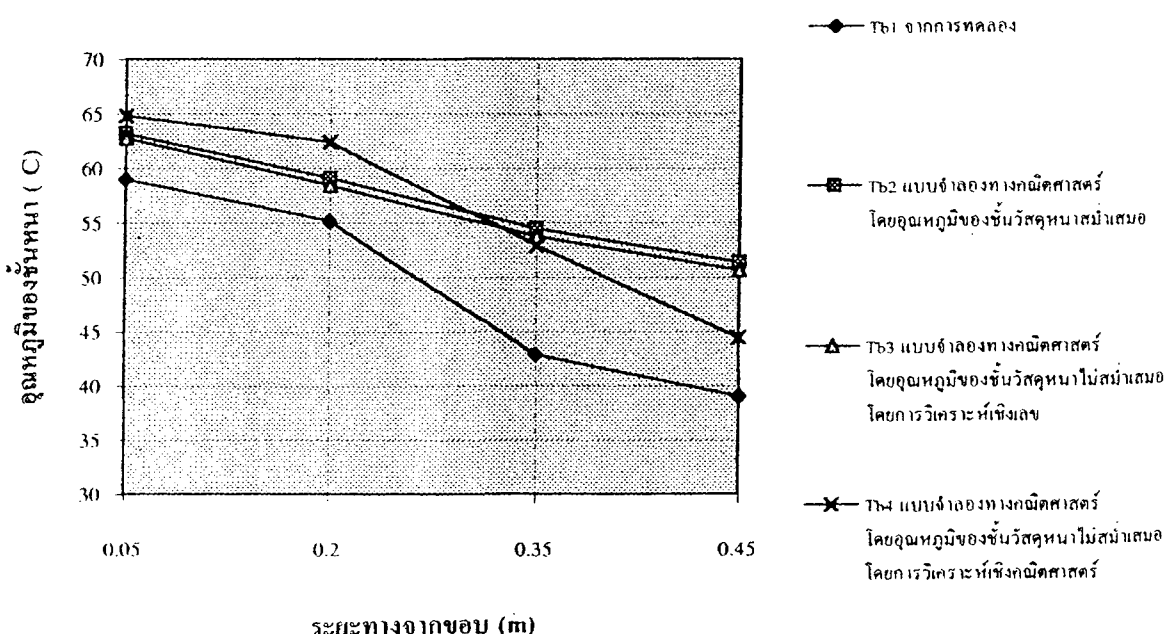
ตารางที่ 1 (ต่อ) การระบายความร้อนของอุณหภูมน้ำของเรือและจอดท่าที่ โคบลอนฟาร์มเมืองไทร์ จุดที่ 65.0 °C, อุณหภูมน้ำท่าของเรือเพียง 30.7 °C,

$$r = 0.0432 \text{ m} = 0.15 \text{ m/s}$$

เวลา วัน	ระดับ น้ำ	ผลของการ ทดสอบโดย	การกระ化 อุณหภูมน้ำ ในอุ่นๆ	การกระ化อุณหภูมน้ำในช่องเรือไม่น้ำทึบ ตาม				การกระ化อุณหภูมน้ำในช่องเรือไม่น้ำทึบตาม			
				(โดยการบรรยาย)				(โดยการคำนวณ)			
วัน	น้ำ	Natavut (1981)	ส่วนผสม	T <sub>a</sub>	T <sub>b</sub>	T <sub>a</sub>	T <sub>b</sub>	T <sub>a</sub>	T <sub>b</sub>	T <sub>a</sub>	T <sub>b</sub>
				(°C)	(°C)	(°C)	(°C)	(°C)	(°C)	(°C)	(°C)
				0.009	0.017	0.026	0.035	0.043	0.009	0.017	0.026
0.050	64.70	64.50	65.00	65.00	65.00	65.00	65.00	65.00	64.92	64.98	65.00
0.200	64.50	64.20	65.00	64.99	64.99	64.99	64.99	64.99	64.87	64.97	65.00
0.350	63.20	62.50	64.99	64.97	64.97	64.94	64.94	64.94	65.00	64.70	64.91
0.450	62.70	62.50	64.96	64.93	64.94	64.86	64.87	64.87	64.99	64.47	64.79
0.050	64.70	64.70	65.00	65.00	65.00	65.00	65.00	65.00	64.98	65.00	65.00
0.200	64.70	64.20	65.00	65.00	65.00	65.00	65.00	65.00	65.00	64.97	65.00
0.350	64.20	64.00	65.00	64.99	65.00	64.99	64.99	64.99	65.00	64.94	64.99
0.450	63.70	63.70	64.99	64.99	64.99	64.98	64.98	64.98	65.00	64.88	64.97

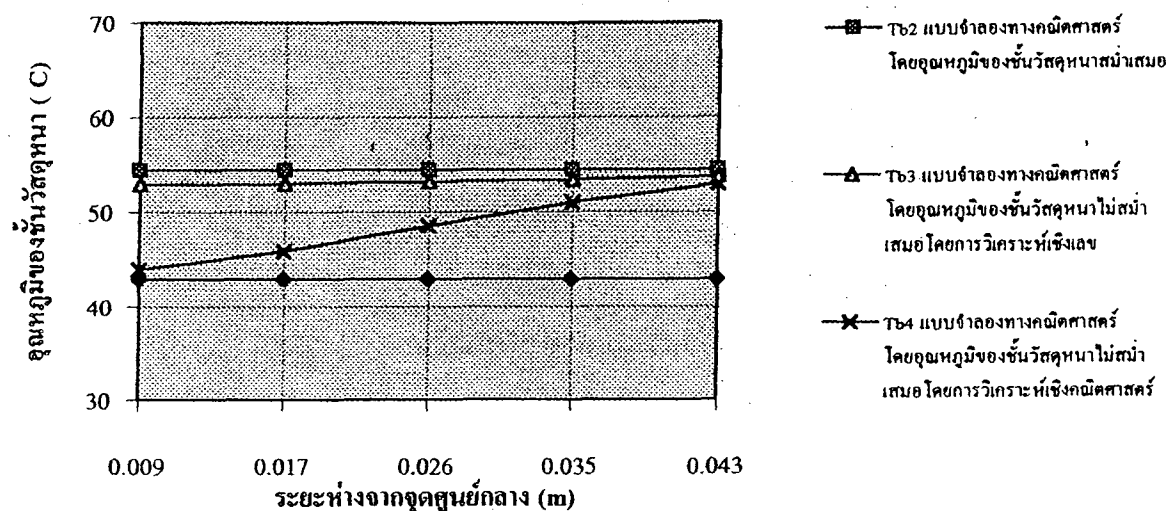


รูปที่ 6 การกระจายอุณหภูมิของอากาศ ที่เวลา 1 ชั่วโมง



รูปที่ 7 การกระจายอุณหภูมิของชั้นวัสดุหนา ที่เวลา 1 ชั่วโมง

—●— TB1 จําบการทดสอบ



รูปที่ 8 การกระจายอุณหภูมิกายในชั้นวัสดุหนาน ที่เวลา 1 ชั่วโมง

## 7 สรุปและวิจารณ์

จากรูปที่ 6 ซึ่งเป็นผลการเปรียบเทียบอุณหภูมิของอากาศที่เวลา 1 ชั่วโมง จะพบว่าค่าอุณหภูมิของอากาศที่คำนวณได้จากแบบจำลองทางคณิตศาสตร์กรณีการกระจายอุณหภูมิในชั้นวัสดุหนานไม่สูงไม่สูงโดยการวิเคราะห์เชิงคณิตศาสตร์ มีค่าใกล้เคียงกับผลการทดลองมากกว่าผลการคำนวณแบบอื่น โดยเฉพาะเมื่อระยะห่างจากขอบมากขึ้นและเวลาไมากขึ้นผลการคำนวณที่ได้ก็ยังใกล้เคียงกับผลที่ได้จากการทดลอง จากรูปที่ 7 เป็นผลการเปรียบเทียบอุณหภูมิที่ผิวของชั้นวัสดุหนาน ที่เวลา 1 ชั่วโมง จะพบว่าที่ระยะห่างจากขอบ 0.05 m และ 0.2 m ค่าที่ได้จากการคำนวณแบบจำลองทางคณิตศาสตร์กรณีการกระจายอุณหภูมิในชั้นวัสดุหนานไม่สูงไม่สูงโดยการวิเคราะห์เชิงคณิตศาสตร์ จะมีความแตกต่างจากค่าที่ได้จากการทดลองมากกว่าผลการคำนวณจากแบบจำลองทางคณิตศาสตร์แบบอื่น แต่ที่ระยะห่างจากขอบ 0.35 m และ 0.45 m ค่าที่ได้จากการคำนวณแบบจำลองทางคณิตศาสตร์โดยการกระจายอุณหภูมิในชั้นวัสดุหนานไม่สูงไม่สูงโดยการวิเคราะห์เชิงคณิตศาสตร์ จะมีค่าใกล้เคียงกับการทดลองมากกว่า

ความแตกต่างของอุณหภูมิที่ได้จากการทดลองและที่ได้จากการคำนวณอาจมีผลมาจากการความแตกต่างของขนาดวัสดุที่ใช้ เนื่องจากในการทดลองของ Nutavut วัสดุหนานที่ใช้มีลักษณะไม่เป็นทรงกลมและมีขนาดไม่เท่ากันโดยมีขนาดเส้นผ่าศูนย์กลางตั้งแต่ 0.0381-0.05 m โดยค่าเฉลี่ยของเส้นผ่าศูนย์กลางของชั้นวัสดุหนานคือ 0.043 m แต่ในการคำนวณเราถือว่าวัสดุเป็นทรงกลมและมีขนาดเท่ากันทั้งหมดคือ 0.043 m

### 8. รายการสัญลักษณ์

- $T$  = อุณหภูมิของของไอล (°C)  
 $\theta$  = อุณหภูมิของหินวัสดุ (°C)  
 $\rho$  = ความหนาแน่น ( $\text{kg}/\text{m}^3$ )  
 $C$  = ความจุความร้อนจำเพาะ ( $\text{J}/\text{kg}^\circ\text{C}$ )  
 $\epsilon$  = อัตราส่วนซึ่งว่าง (decimal)  
 $K$  = สัมประสิทธิ์การนำความร้อน ( $\text{W}/\text{m}^\circ\text{C}$ )  
 $A$  = พื้นที่หน้าตัด ( $\text{m}^2$ )  
 $h_v$  = สัมประสิทธิ์การพาความร้อนเชิงปรินาตร ( $\text{W}/\text{m}^3 \circ\text{C}$ )  
 $u$  = อัตราการไอล ( $\text{m}/\text{s}$ )  
 $r$  = รัศมีของวัสดุ (m)  
 $R_n$  = ค่าความด้านทานในการถ่ายเทความร้อน (m)  
 $\Delta v$  = ปริมาตร ( $\text{m}^3$ )  
 $\tau$  = เวลา (s)  
 $x$  = ระยะทาง (m)

สัญลักษณ์กำกับล่าง

$a$  = ของไอล

$b$  = วัสดุหนา

### 9. เอกสารอ้างอิง

- 1 Lof, G.O.G and Hawley R.W., Unsteady-State Heat Transfer Between Air and Looses Solids, Industrial and Engineering Chemistry Vol .40 No.6, June 1948
- 2 Schumann, T.E.W ,Heat Transfer : a Liquid Flowing Through a Porous Prism ,Heat Trasfer Vol. 208 Sept 1929
3. Maclaine-Cross, I.L., Effect of International Fluid Heat Capacity on Regenerator Performance, Journal of Heat Transfer ,Vol. 102 August,1980
4. Trinestsamparn Natavut, Thermal Rocked-bed Storage Performance, AIT Research ,Asian Institute of Technology,Thailand